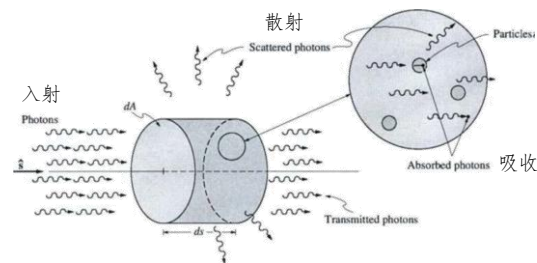


第六章 大气的辐射特性



6.1 消光、散射和吸收

6.1.1 描述消光的物理量

引入实验 利用高射投影仪演示辐射透射消光过程：(a) 三个盛有水的器皿，正好处于投影仪光源照射的位置。透明液体是水，黑色液体是稀释的墨汁（吸收介质），白色液体是稀释的牛奶（散射介质）。(b) 三个器皿的投影照片：牛奶和墨汁的黑色阴影表明吸收和散射在衰减透射辐射是有效相等的。

机制分析 散射和吸收机制：**透射消光 Extinction = 吸收 + 散射**

稀疏介质 粒子间距需要大于数倍的波长，由此消光截面可以直接相加。 大气适用，某些医学领域不适用。

特性物理量 对于消光过程，定义如下光学特性物理量：

粒子**消光截面** σ_e 单个粒子消光的横截面积 **量纲：面积**
 粒子**消光效率** Q_e 粒子消光截面与其几何横截面积的比值 **量纲：无量纲**
体积消光系数 β_e 单位体积里所有粒子的消光截面之和 **量纲：面积/体积 = 1/长度**
质量消光系数 k_e 单位质量里所有粒子的消光截面之和 **量纲：面积/质量**

$$\sigma_e = k_e m = Q_e A \quad m \text{ 为单个粒子的质量, } A \text{ 为粒子的几何横截面积。}$$

$$\beta_e = \rho k_e = N \sigma_e \quad \rho \text{ 为物质密度(介质密度), } N \text{ 为粒子数密度。}$$

对于**散射和吸收**过程，定义类似的物理量： $\sigma_s, Q_s, \beta_s, k_s$ 和 $\sigma_a, Q_a, \beta_a, k_a$

$$\beta_s = \rho k_s = N \sigma_s \quad \beta_a = \rho k_a = N \sigma_a \quad \sigma_s = k_s m = Q_s A \quad \sigma_a = k_a m = Q_a A$$

$$\sigma_e = \sigma_s + \sigma_a \quad Q_e = Q_s + Q_a \quad \beta_e = \beta_s + \beta_a \quad k_e = k_s + k_a$$

反照率 为描述介质散射和吸收的相对比重，定义**单次散射反照率**： $\tilde{\omega} = \frac{\beta_s}{\beta_e} = \frac{k_s}{k_e} = \frac{\sigma_s}{\sigma_e}$

消光截面 $I_{\text{出射}} = \sigma_e \text{消光界面} I_{\text{入射}}$ 其与宏观几何截面 A 的关系是： $\sigma_e = 2A$ 消光悖论 $Q_e = 2$
 其与微观粒子几何截面的关系是：两者无明显关系。

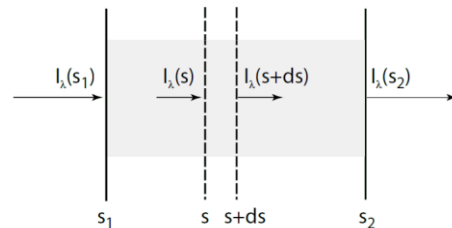
6.1.2 消光物理量示例

问题 完成下面的表格，利用各列中的信息确定相同列中的缺失数值。

	(a)	(b)	(c)	(d)
$k_e [\text{m}^2/\text{kg}]$	3.89×10^2	?	0.45	?
$N [\text{m}^{-3}]$?	?	80	10^9
$A [\text{m}^2]$	2.8×10^{-19}	7.07×10^{-14}	?	3.14×10^{-10}
Q_e	?	0.2	0.6	?
$\tilde{\omega}$	0	0.1	?	0.9
$m [\text{kg}]$	7.3×10^{-26}	1.41×10^{-17}	?	4.19×10^{-12}
$\rho [\text{kg}/\text{m}^3]$	4.8×10^{-4}	?	3.35×10^{-4}	?
$\sigma_e [\text{m}^2]$?	?	1.89×10^{-6}	?
$\beta_e [\text{m}^{-1}]$?	1.41×10^{-4}	?	0.628
$\beta_s [\text{m}^{-1}]$?	1.41×10^{-5}	6.03×10^{-5}	?

第一列： 由于 $\tilde{\omega} = 0 \Rightarrow \beta_s = 0$ 由 $k_e, m \Rightarrow \sigma_e = k_e m = 2.83 \times 10^{-23}$
 由 $\beta_e = \rho k_e = 0.187$ 由 $N = \beta_e / \sigma_e = 6.6 \times 10^{21}$ 或 $N = \rho / m$
 $Q_e = \sigma_e / A = 1 \times 10^{-4}$

6.2 比尔-布格-朗伯定律



6.2.1 比尔-布格-朗伯定律

适用范围 透射消光假设：忽略多次散射导致的辐射增强的贡献。

传输方程 沿任意路径上有限距离的辐射传输方程：

在消光介质中，经过微元路径 ds 的辐射衰减： $dI_\lambda(s) = I_\lambda(s+ds) - I_\lambda(s) = -I_\lambda(s)\beta_e(s)ds$ 单位面积对上式进行积分来描述 s_1 和 s_2 两点之间延伸路径的消光：

$$I_\lambda(s_2) = I_\lambda(s_1) \exp \left[- \int_{s_1}^{s_2} \beta_e(s) ds \right]$$

6.2.2 与比尔定律相关的定义和结论

光学厚度 s_1 和 s_2 之间的**光学厚度**(无量纲)，又称为**光学路径**： $\tau(s_1, s_2) = \int_{s_1}^{s_2} \beta_e(s) ds$

1. 表示单位横截面(由此无量纲)，从 s_1 到 s_2 这段路径中**所有粒子的消光截面之和**。
2. $d\tau(s) = \beta_e(s)ds$ 微分路径上的光学厚度，表示消光的**比重(概率)**。

透过率 s_1 和 s_2 之间的**透过率**(无量纲，取值范围从零($\tau \rightarrow \infty$)至1($\tau = 0$))： $t(s_1, s_2) \equiv \frac{I_\lambda(s_2)}{I_\lambda(s_1)} \equiv e^{-\tau(s_1, s_2)}$

- 性质**
- ① 如果 β_e 在 s_1 和 s_2 之间保持不变，那么 $\tau = \beta_e(s_2 - s_1)$
 - ② **光学厚度的加法定律**： $\tau(s_1, s_N) = \tau(s_1, s_2) + \tau(s_2, s_3) + \dots + \tau(s_{N-1}, s_N)$ 截面相加
 - ③ **透过率的乘法定律**： $t(s_1, s_N) = t(s_1, s_2) \cdot t(s_2, s_3) \cdot \dots \cdot t(s_{N-1}, s_N)$ 指数项的性质
 - ④ 对于光学厚度 $\tau(s_1, s_2) \ll 1$ 的情况，透过率可近似： $t = \exp(-\tau) \approx 1 - \tau(s_1, s_2) = 1 - \beta_e(s_2 - s_1)$
光学厚度非常小时，可以理解为微分路径上消光的概率，则减去后为透过的概率。

对于光学厚度不非常小时，可以从数学上论证： $\lim_{N \rightarrow \infty} \left(1 - \frac{\tau}{N}\right)^N = e^{-\tau}$ 表示理论自治。

- ⑤ 如果介质没有散射($e_\omega = 0$)，路径**吸收率**为 $a = 1 - t$

6.2.3 平面平行大气近似

平行假设 指定高度后，该层大气性质不随水平变化： $\beta_e(x, y, z) \approx \beta_e(z)$ $T(x, y, z) \approx T(z)$
分子大气(无云/气溶胶)十分合理，压强、温度主要变化于垂直方向(不考虑地球曲率情况)
太阳高度角小时，也不适用。有云大气，该假设不合理；对于层云，较为合理。

光学厚度 z_1 和 z_2 之间的**垂直光学厚度** $\tau(z_1, z_2) = \int_{z_1}^{z_2} \beta_e(z) dz$

倾斜情况：有 $\tau(z_1, z_2, \cos \theta) = \int_{s_1}^{s_2} \beta_e(s) ds = \int_{z_1}^{z_2} \beta_e(z) \frac{dz}{\cos \theta} = \frac{\tau(z_1, z_2)}{\cos \theta}$

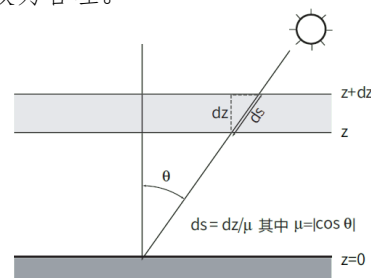
高度 z 的光学厚度 $\tau(z) \equiv \tau(z, \infty) = \int_z^\infty \beta_e(z') dz'$

透过率 z_1 和 z_2 之间沿 μ 传输的**透过率** $t(z_1, z_2) = \exp \left[-\frac{1}{\mu} \tau(z_1, z_2) \right]$

高度 z 至大气顶沿 μ 传输的透过率 $t(z) \equiv \exp \left[-\frac{1}{\mu} \tau(z) \right]$

计算示例

1. 某平面平行云的液态水云层密度 $\rho_w = 0.1 \text{ gm}^{-3}$ 和厚度 $\Delta z = 100 \text{ m}$ 。在某特定波长上，云粒子的质量消光系数 $k_{e,w} = 150 \text{ m}^2/\text{kg}$ ，单次散射反照率 $\tilde{\omega}_w = 1.0$ 。但是悬浮粒子的空气本身在此波长上存在吸收，体消光系数 $\beta_{a,v} = 10 \text{ km}^{-1}$ 和单次散射反照率 $\tilde{\omega}_v = 0$ 。
(a) 计算混合大气成分的联合 β_e 、 β_a 和 β_s 。
(b) 计算云层总的光学厚度 τ 。
(c) 如果辐射强度 $I_{\lambda, \text{top}}$ 以天顶角 $\theta = 60^\circ$ 从云层顶部入射，请计算直接透射的辐射强度 $I_{\lambda, \text{bot}}$ 。



在平面平行大气中倾斜路径和垂直路径之间的关系

注意： $\mu = \cos \theta$ 为惯例

(a) 混合大气成分的联合光学特性

$$\beta_e = k_{e,w}\rho_w + \beta_{a,v} = 25 \text{ km}^{-1}$$

$$\beta_s = k_{e,w}\rho_w\tilde{\omega}_w + \beta_{a,v}\tilde{\omega}_v = 15 \text{ km}^{-1}$$

$$\beta_a = k_{e,w}\rho_w(1 - \tilde{\omega}_w) + \beta_{a,v}(1 - \tilde{\omega}_v) = 10 \text{ km}^{-1}$$

(b) 云层总的光学厚度 $\tau = \beta_e \Delta z = 2.5$

(c) 直接透射的辐射强度 $I_{\lambda,\text{bot}} = I_{\lambda,\text{top}} \exp\left[-\frac{\tau}{\cos \theta}\right] = 0.7\% I_{\lambda,\text{top}}$ 非常小的值，需进一步考虑散射

6.3 地基观测太阳辐射强度

概述

卫星出现之前直接利用太阳光谱仪器观测太阳辐射强度是不可能的。地基观测总是一定程度上受大气吸收和散射造成的阳光衰减的影响。然而卫星观测之前，人们就可以合理估算太阳光谱。

具体方法

假设大气平面平行，大气特性在一整天里基本保持不变。

对于白天任意特定时间，比尔定律表明海平面观测的太阳辐射强度为 $I_{\lambda\text{地面接收}} = S_{\lambda\text{太阳入射}} e^{-\tau_{\lambda}/\mu}$

对两边求对数得到 $\log(I_{\lambda}) = -\tau_{\lambda}/\mu + \log(S_{\lambda})$ 定义 $Z = 1/\mu = \sec \theta$ 上述公式则改写为线性方程：

$$Y = mZ + B \quad \text{其中 } Y \equiv \log(I_{\lambda}), \text{ 斜率 } m \equiv -\tau_{\lambda}, \text{ 截距 } B \equiv \log(S_{\lambda})$$

图表解释

对于光学厚度 τ_{λ} 的大气，波长 λ 太阳辐射强度对数和太阳天顶角正割之间的示意性关系。其中加号代表一天中不同时间的各个观测值，由此我们可以确定最佳拟合直线的斜率和截距。

